

تأثیر خواص مواد نیمرسانا و ساختار مسافت بر مشخصه‌های انتقال الکترون در افزاره (شبیه‌سازی مونت کارلو)

کامیار ثقیل^۱، محمد کاظم مروج فرشی^{۲*}، حیدر احمدی^۳

۱- استادیار دانشکده فنی و مهندسی، دانشگاه شاهد

۲- استاد بخش مهندسی برق، دانشکده فنی و مهندسی، دانشگاه تربیت مدرس

۳- دانشیار بخش مهندسی برق، دانشکده فنی و مهندسی، دانشگاه تربیت مدرس

* تهران، صندوق پستی ۱۴۱۱۵-۱۴۳

farshi_k@modares.ac.ir

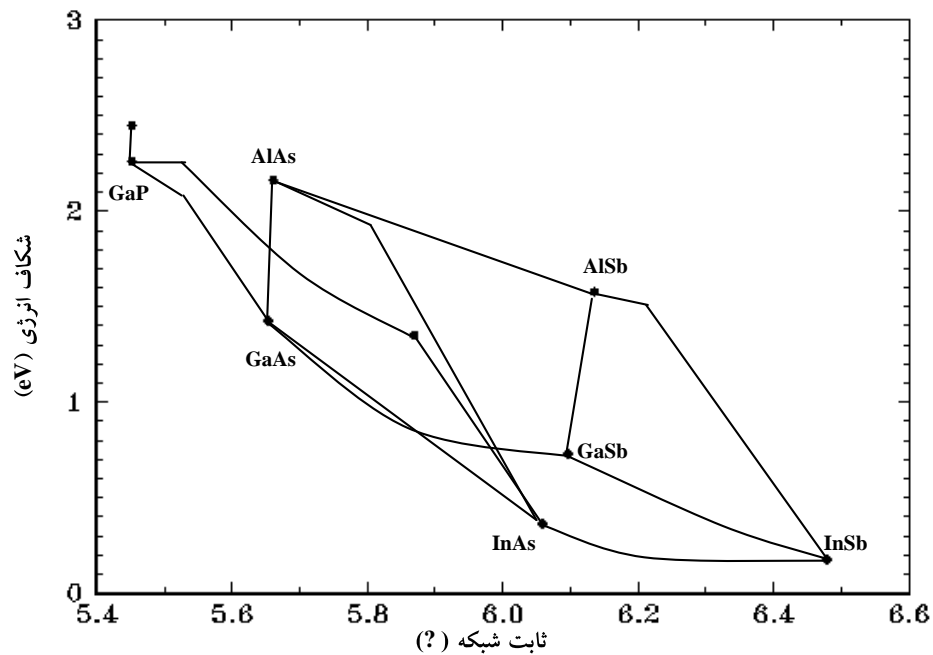
چکیده- در این مقاله به بررسی نقش خواص ذاتی مواد نیمرسانای مرکب، از جمله اختلاف انرژی بین درهای L و Γ در ماده، جرم مؤثر حامل و همچنین فرایندهای پراکنده‌گی بر مشخصه‌های انتقال الکترون در کانال مسافت می‌پردازیم. به علاوه، تأثیر ساختار مسافت بر مشخصه‌های انتقال الکترون را در افزاره مطالعه می‌کنیم. برای بررسی این موضوع ساختار مسافت InGaAs تعییشده بر روی بستر نیم‌عایق InP و ساختار مسافت InP با روش مونت کارلو شبیه‌سازی کرده و نتایج حاصل را با نتایج بدست آمده از شبیه‌سازی ساختار مسافت GaAs مقایسه می‌کنیم. از بین این سه ترانزیستور، مسافت InGaAs بهترین مشخصه سرعت را از خود نشان می‌دهد. با هدف بهبود بیشتر مشخصه سرعت در ترانزیستور اخیر علاوه بر اضافه کردن لایه درین کم‌غلاظت (LDD) در کنار درین، برای اولین بار سورس را با InP جایگزین می‌کنیم. این ساختار، بزرگترین مقدار متوسط سرعت الکترون را در سراسر کانال در مقایسه با سایر مسافت‌ها نتیجه می‌دهد.

کلید واژگان: ایندیوم فسفاید، ایندیوم گالیم آرسناید، شبیه‌سازی مونت کارلو، گالیم آرسناید، مسافت، نیمرسانای مرکب.

دیگر که از یک طرف از دید مشخصه‌های انتقال مشابه GaAs باشد و از طرف دیگر اختلاف بین درهای L و Γ در آن بیش از GaAs باشد، می‌تواند بر محدودیت بیان شده در GaAs فایق شود. برای این منظور، رفتار مسافت از جنس ایندیوم گالیم آرسناید (InGaAs) بر روی بستر نیم‌عایق ایندیوم فسفاید (InP) مطالعه می‌شود [۳-۷]. یکی از شرایط مهم رشد ماده‌ای بر روی ماده دیگر در ادوات نیمرسانا، تطابق ثابت شبکه دو ماده است.

۱- مقدمه

در بررسی مسافت (MESFET) معمولی از جنس گالیم آرسناید (GaAs) در مجاورت درین در کانال، جایی که میدان الکتریکی قوی است، دو عامل وجود حاملها در دره L و پدیده پراکنده‌گی معکوس، سرعت الکترون‌ها را به سرعت کاهش می‌دهند [۱، ۲]. بدین ترتیب، افزایش ولتاژ درین تا جایی که انرژی حاملها به سطح لازم برای ورود به دره L برسد، در مجموع می‌تواند سرعت حاملها را افزایش دهد. بدینهی است عامل این محدودیت، اختلاف انرژی بین دره‌های L و Γ است. بنابراین انتخاب ماده‌ای



شکل ۱ نمودار تغییرات شکاف انرژی بر حسب ثابت شبکه [۸].

ماده فقط به ازای درصد مولی $x = 0.53$ با $In_xGa_{1-x}As$ نسبت به $GaAs$ کوچکتر بودن جرم مؤثر آن در درهای L و Γ است بنابراین در محدوده وسیعی از میدان الکتریکی، سرعت الکترون در $InGaAs$ بیشتر از $GaAs$ خواهد بود. از سوی دیگر $GaAs$ نیز برتری هایی نسبت به $InGaAs$ دارد. با توجه به اینکه شکاف انرژی در $InGaAs$ کوچکتر از $GaAs$ است لذا دمای کار ادوات ساخته شده با $InGaAs$ نسبت به $GaAs$ پایین تر است. از طرفی کوچک بودن ارتفاع سد شاتکی در مسافت های $InGaAs$ باعث افزایش جریان نشتی گیت می شود که کارکرد آن را محدود می سازد. برای رفع این نقصه، ماده ای با شکاف انرژی بزرگتر مانند $GaAs$ یا ایندیوم آلمینیم آرسناید ($InAlAs$) را میان $InAs$ و $GaAs$ قرار دارد.

برابر نبودن ثابت شبکه دو ماده باعث ایجاد نقص در شبکه کریستالی در محل فصل مشترک شده و رفتار ابزار را بشدت تحت تأثیر قرار می دهد. شکل ۱ نمودار فاز (تغییرات شکاف انرژی بر حسب ثابت شبکه) را برای مواد نیمرسانای مرکب مختلف نشان می دهد [۸].

همانگونه که در شکل مشاهده می شود، برای آلمینیم گالیم آرسناید ($Al_xGa_{1-x}As$) که از حرکت بر روی خط پیوند دهنده $GaAs$ به آلمینیم آرسناید ($AlAs$) حاصل می شود، با تغییر درصد مولی Al از صفر تا یک، تغییر حاصل در شکاف انرژی فقط ۰/۲٪ خواهد بود. حال آنکه تغییر در شکاف انرژی حدود ۰/۷۳۹ eV است. این ویژگی یکی از امتیازهای مهم $Al_xGa_{1-x}As$ است. انتخاب $InGaAs$ به عنوان کانال و نواحی سورس و درین در مسافت ناشی از تفاوت انرژی بین درهای L و Γ در این ماده است. این تفاوت بر حسب درصد مولی x در ترکیب $In_xGa_{1-x}As$ برابر $x = ۰.۲۵۱ \pm ۰.۸۲۹$ است [۹].

اعمالی هیچ یک از حاملهای کانال به دره L وارد نشده و تمام آنها در دره Γ قرار دارند. اثر پراکندگی معکوس نیز در مجاورت درین دیده نمی‌شود. در شکل ۳، به ازای شرایط فوق، بین متوسط سرعت در مسافت As و $GaAs$ مسافت $InGaAs$ مقایسه‌ای انجام شده است.

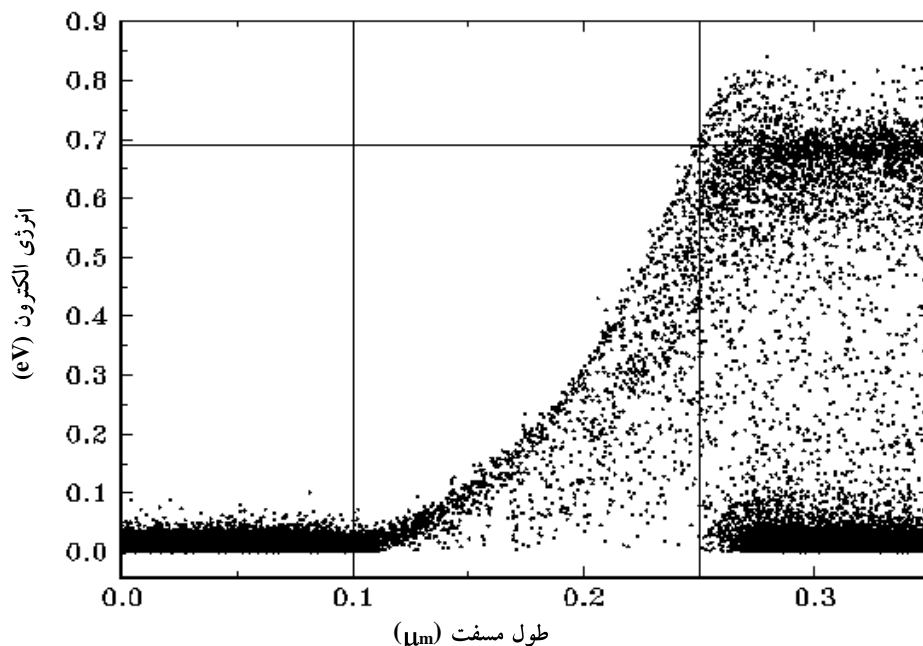
ملاحظه می‌شود که به دلیل عدم وجود پراکندگی معکوس و درنتیجه خالی بودن دره L از حاملها در مسافت $InGaAs$ ، متوسط سرعت در نقاط نزدیکتری به درین شروع به کاهش می‌کند. عدم تفاوت چشمگیر میان اوج متوسط سرعت در دو مسافت $GaAs$ و $InGaAs$ همچنین افت متوسط سرعت در مجاورت درین در کانال، به توضیح بیشتری نیاز دارد. در شکل ۴ توزیع سرعت الکترون برای شرایط فوق در مسافت $InGaAs$ ترسیم شده است.

اولین نکته‌ای که در این شکل جلب توجه می‌کند حرکت شبه بالستیکی حاملها در نوار فوکانی توزیع سرعت است.

اتصال گیت قرار می‌دهند تا سد شاتکی را به اندازه لازم افزایش دهد [۸].

۲- مسافت $In_{0.53}Ga_{0.47}As$

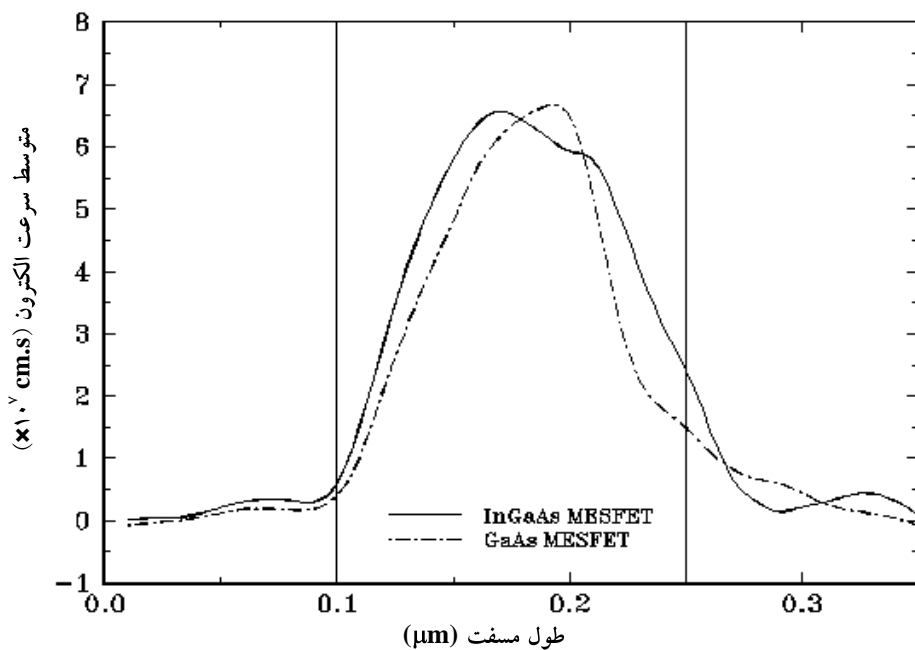
در این قسمت مشخصه‌های انتقال در ترانزیستور مسافت درین قسمت مشخصه‌های انتقال در ترانزیستور $In_{0.53}Ga_{0.47}As$ روی InP بررسی و با مسافت معمولی از جنس $GaAs$ مقایسه می‌شود. ساختار و مدل شبیه سازی شده برای هر دو ترانزیستور مشابه مرجع [۲-۱] است. طول نواحی n^+ سورس و درین برابر $1\mu m$ ، نواحی اتصال سورس و درین $0.5\mu m$ و ناحیه فعال برابر $0.15\mu m$ انتخاب شده است. غلظت نواحی n^+ برابر $5 \times 10^{16} cm^{-3}$ درنظر گرفته شده است. عمق کانال برابر $0.1\mu m$ است. ابتدا شبیه سازی به ازای $V_{DS} = 0.8V$ در دمای $77^{\circ}K$ انجام شده است. شکل ۲ توزیع انرژی الکترون را در این ترانزیستور نشان می‌دهد. همانگونه که اشاره شد، به ازای $x = 0.53$ درصد مولی In، تفاوت انرژی بین دره‌های L و Γ حدود $0.69 eV$ است. ملاحظه می‌شود که به ازای ولتاژهای



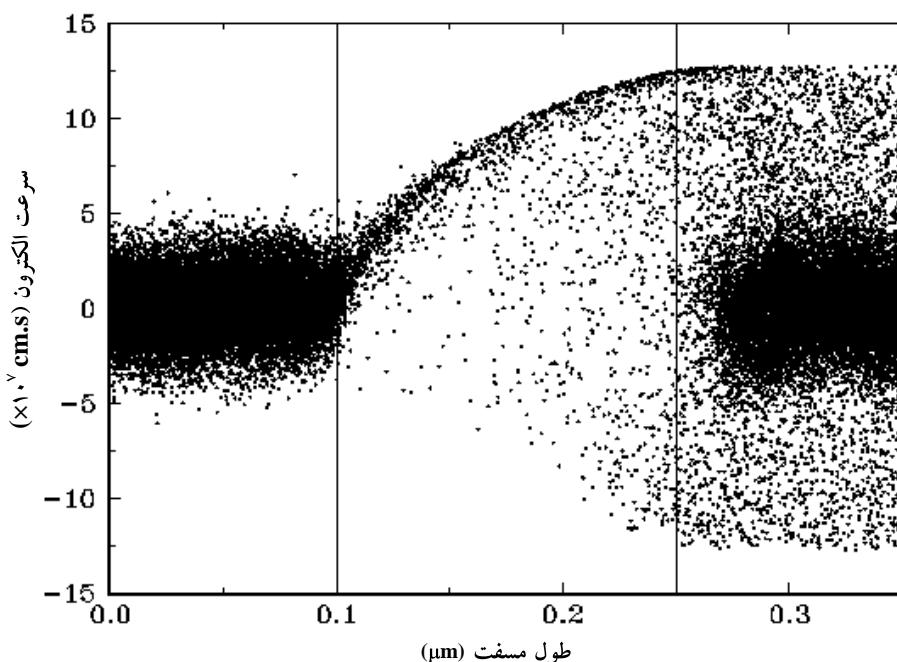
شکل ۲ توزیع انرژی الکترون در مسافت $In_{0.53}Ga_{0.47}As$ به ازای $T=77^{\circ}K$, $V_{GS}=-0.2V$, $V_{DS}=0.8V$ و $x=0.53$

تعدادی از حاملهای پرانرژی در خلاف جهت میدان الکتریکی حرکت کرده و باعث کاهش متوسط سرعت در مجاورت درین می‌شوند.

از سوی دیگر ملاحظه می‌شود که اگرچه با نزدیک شدن به درین، سرعت حاملهای مجموعه زیاد می‌شود، اما بر اثر فرایندهای پراکندگی در نیمه راست کانال، در مجموع از حرکت بالستیکی انحراف خواهیم داشت. در این ناحیه،



شکل ۳ مقایسه متوسط سرعت الکترون در مسافت‌های InGaAs (خط متمد) و GaAs (خط نقطه) به ازای $V_{DS} = +8V$ و $V_{GS} = -2V$ در دمای $77^{\circ}K$

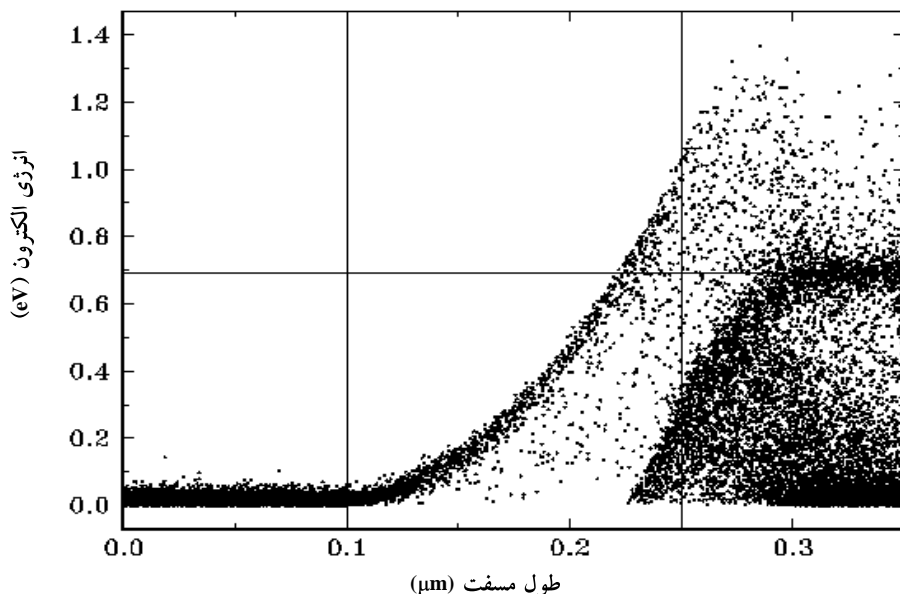


شکل ۴ توزیع سرعت الکترون در مسافت $In_{0.53}Ga_{0.47}As$ به ازای $V_{GS} = -2V$ و $V_{DS} = +8V$ در دمای $77^{\circ}K$

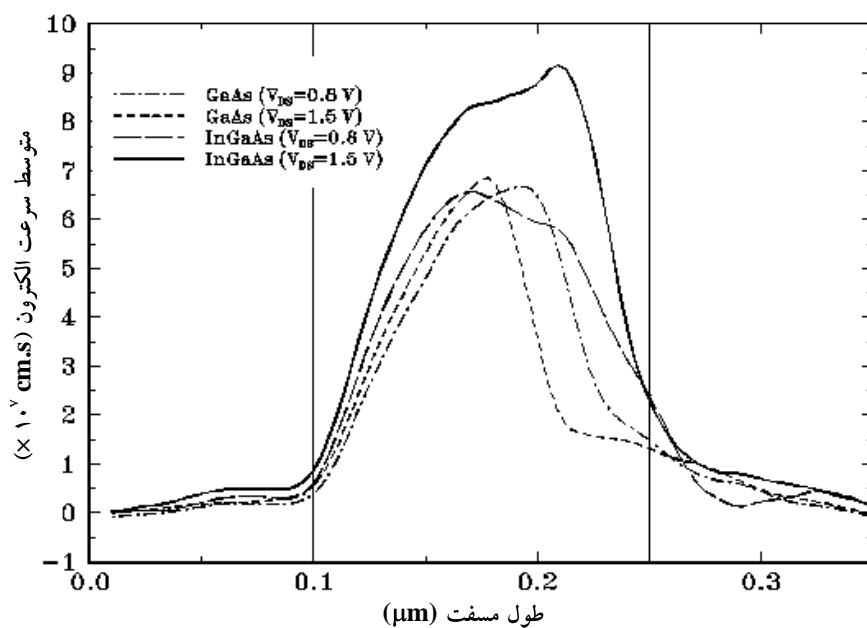
نسبت به شکل ۲ در سراسر کانال نوید افزایش سرعت را در سراسر کانال می‌دهد.

در شکل ۶، مقایسه متوسط سرعت حاملها در مسافت‌های GaAs و InGaAs، به ازای دو مقدار بایاس $V_{DS} = 1/5 \text{ V}$ و $V_{DS} = 0/8 \text{ V}$

با افزایش ولتاژ درین-سورس به $1/5 \text{ V}$ ۱/۵ شیوه‌سازی برای هر دو مسافت تکرار شد. در شکل ۵ توزیع انرژی برای مسافت InGaAs به ازای ولتاژ جدید درین ترسیم شده است. در این شکل اثر پراکندگی معکوس و حضور حاملها در دره L نمایان شده است. اما وجود حاملهای پرانرژی



شکل ۵ توزیع انرژی الکترون در ترانزیستور مسافت $\text{In}_{0.53}\text{Ga}_{0.47}\text{As}$ به ازای $V_{GS} = -0/2 \text{ V}$ و $V_{DS} = 1/5 \text{ V}$ در دمای 77°K .



شکل ۶ مقایسه متوسط سرعت الکترون در مسافت‌های InGaAs به ازای $V_{DS} = 1/5 \text{ V}$ (خط ممتد) و $V_{DS} = 0/8 \text{ V}$ (خط چین بلند)، و مسافت‌های GaAs به ازای $V_{DS} = 1/5 \text{ V}$ (خط چین کوتاه) و $V_{DS} = 0/8 \text{ V}$ (خط - نقطه) برای $V_{GS} = -0/2 \text{ V}$ در دمای 77°K .

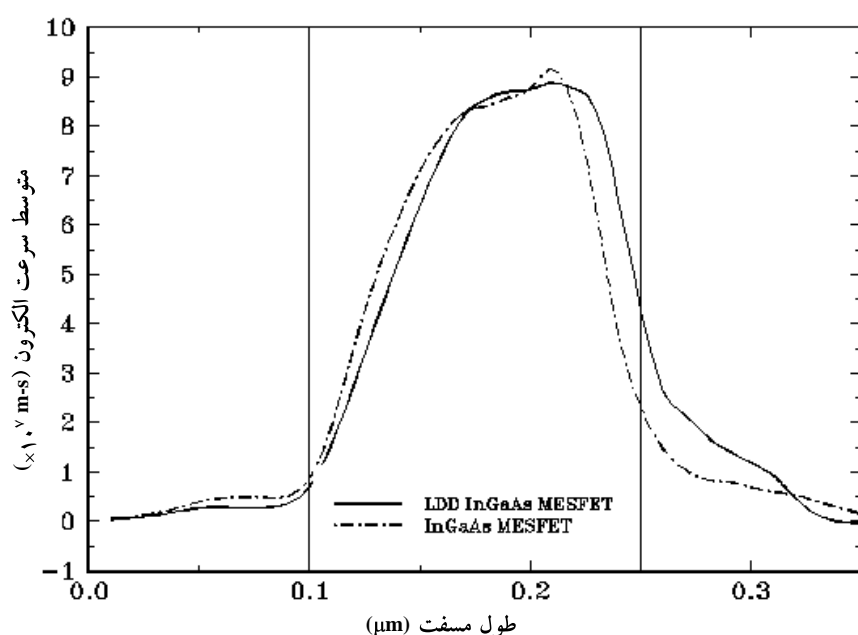
الکترون‌ها در مجاورت درین مسافت با لایه LDD دیرتر از سرعت الکترون‌ها در ساختار بدون لایه LDD کاهش می‌یابد.

۳- ترانزیستور مسفت InP

باتوجه به اینکه ساخت مسفت InP عمومیت دارد [۱۰-۱۴]، در این بخش به بررسی و شبیه‌سازی این ترانزیستور می‌پردازیم. شکاف انرژی دره Γ در GaAs حدود 1.26eV است. لذا حداقل دمای کار آن بین InGaAs و 1.26eV قرار دارد. سد شاتکی روی این ماده نیز به طور طبیعی کمتر از اندازه دلخواه است و مانند InGaAs با قرار دادن لایه دیگری مانند GaAs یا روش‌های ویژه دیگر [۱۵]، این سد را افزایش می‌دهند. تفاوت انرژی بین دره‌های L و Γ حدود 0.74eV است. لذا در نگاه اول انتظار داریم که به دلیل کم‌اثر شدن پراکنده‌گی معکوس و حضور حاملها در دره L با افزایش سرعت حاملها روبه‌رو شویم.

همانطور که انتظار داشتیم، به ازای ولتاژ درین-سورس $1/5\text{V}$ ، حاملهای دره Γ در مسافت InGaAs قبل از رسیدن به نقطه‌ای که فرایندهای پراکنده‌گی غالب شود انرژی چشمگیری را کسب می‌کنند و در اندازه متوسط سرعت آنها جهش چشمگیری مشاهده می‌شود. کاهش مجدد سرعت در مجاورت درین، ناشی از پراکنده‌گی معکوس حاملهای دره L و فرایندهای پراکنده‌گی است. همانطور که در شکل مشاهده می‌شود، افزایش ولتاژ V_{DS} در مسافت GaAs ، باعث می‌شود که سرعت حاملها در مجاورت درین سریعتر کاهش یابد.

اضافه کردن لایه LDD به مسافت InGaAs نیز مشابه مسافت GaAs می‌تواند اثر پراکنده‌گی معکوس و حضور حاملها را در دره L کاهش دهد. نتیجه حاصل از شبیه‌سازی مسافت InGaAs با لایه LDD به عمق $0.8\mu\text{m}$ و غلظت $5 \times 10^{14}\text{ cm}^{-3}$ با نتیجه مربوط به ساختار بدون لایه LDD در شکل ۷ مقایسه شده است. در این شکل ملاحظه می‌شود، که متوسط سرعت



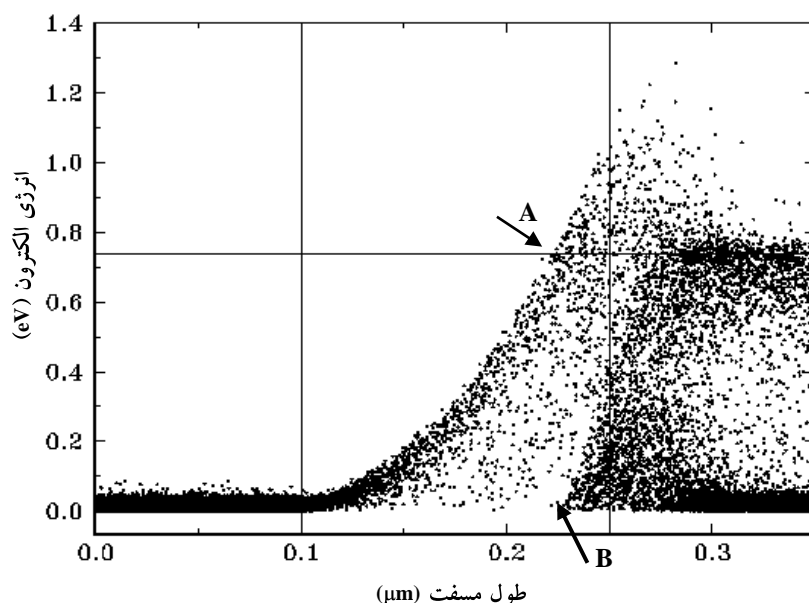
شکل ۷ مقایسه بین متوسط سرعت الکترون در InGaAs مسافت (خط نقطه) و مسافت LDD InGaAs (خط ممتد) به ازای $V_{GS} = -0.2\text{ V}$ و $V_{DS} = 1/5\text{V}$ در دمای 0.77°K .

GaAs کمی از سرعت در مسافت InP بیشتر است. اما سرعت در مجاورت درین مسافت InP به مراتب از سرعت در مسافت GaAs بیشتر است. جرم مؤثر دره Γ در GaAs از InP کمتر است. بنابراین می‌توان انتظار داشت که حاملهای دره Γ در InP از GaAs سریعتر باشند.

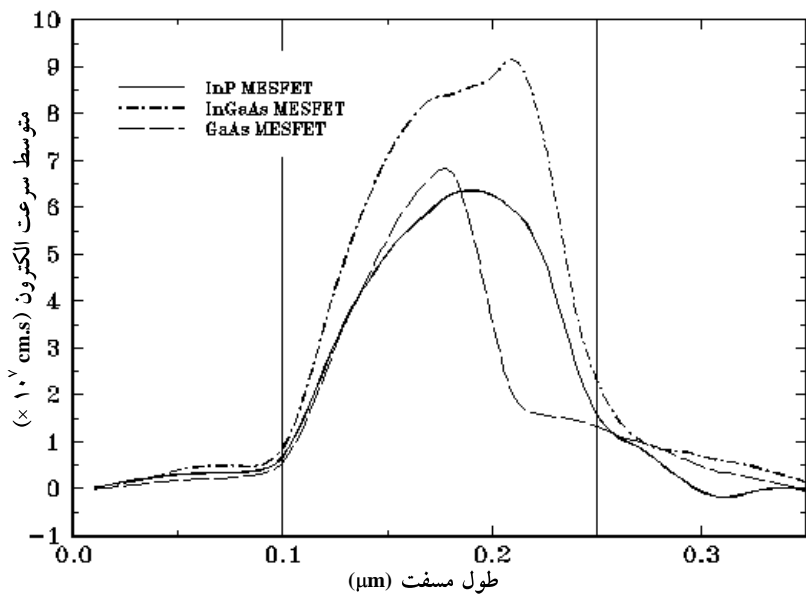
پس از آنکه انرژی الکترونها به حدود 0.29 eV رسید حاملهای مسافت GaAs به دره L وارد می‌شوند، در صورتی که الکترونها مسافت InP همچنان در دره Γ اند. در نتیجه، جرم مؤثر حاملهای InP در این حالت چندین برابر کوچکتر از GaAs است و تا زمانی که انرژی حاملها به حدود 0.74 eV نرسد، این وضعیت تقریباً حفظ می‌شود. علت تقریبی بودن آن، اثر رو به رشد فرایندهای پراکندگی با نزدیک شدن به درین است. با رسیدن به سطح انرژی 0.74 eV ، برتری، همچنان با InP است زیرا جرم مؤثر دره L در GaAs از جرم مؤثر در InP کمی بیشتر است. بدین ترتیب اختلاف سرعت بین InP و GaAs منطقی خواهد بود.

در شکل ۸ توزیع انرژی الکترونها در مسافت InP به ازای $V_{GS} = -0.5\text{ V}$ و $V_{DS} = 0.2\text{ V}$ برای شرایط مشابه با مسافت InGaAs در بخش قبل ترسیم شده است. در این شکل نیز نقطه ورود به دره L و انتهای ناحیه پراکندگی معکوس (نقاط A و B روی شکل)، مشابه شکلهای قبلی توزیع انرژی، تقریباً با یکدیگر برابرند. لذا کاهش متوسط سرعت حاملها تقریباً از این نقطه آغاز می‌شود.

در شکل ۹ متوسط سرعت حامل به ازای شرایط فوق برای مسافت InP، مسافت InGaAs و مسافت GaAs در نشان داده شده است. برخلاف انتظار اولیه متوسط سرعت حاملها در مسافت InP در سراسر کanal به طور چشمگیری از مسافت InGaAs کمتر است. جرم مؤثر الکترونها در دره‌های Γ و L در InP از InGaAs بیشتر است بعلاوه انرژی فونون‌های نوری قطبی نیز در InP از InGaAs بیشتر است [۱۶] و الکترونها تحت تأثیر این فرایند پراکندگی، انرژی بیشتری را از دست می‌دهند. بدین ترتیب موارد ذکر شده توجیه مناسبی برای اختلاف سرعت در این دو ساختار است. در مقایسه مسافت‌های InP و GaAs مشاهده می‌شود که اوج سرعت در مسافت



شکل ۸ توزیع انرژی الکtron در ترانزیستور مسافت InP به ازای $V_{GS} = -0.5\text{ V}$ و $V_{DS} = 0.2\text{ V}$ در دمای 0.77°K



شکل ۹ مقایسه متوسط سرعت الکترون در مسافت‌های InP (خط ممتد)، InGaAs (خط نقطه)، GaAs (خط چین) به ازای $V_{DS}=1/5\text{ V}$ و $V_{GS}=-0/2\text{ V}$ در دمای 77°K

می‌یابد [۲]. اینک برای مشاهده این اثر در مسافت InP تعییه شده ببروی بستر InP، از سورس InGaAs استفاده می‌کنیم. شایان ذکر است که این ساختار در این تحقیق برای اولین بار بررسی شده است. در محل فصل مشترک سورس و کانال ($\text{InP}/\text{In}_{0.53}\text{Ga}_{0.47}\text{As}$)، یک ناپیوستگی حدود $0/4\text{ eV}$ در نوار انرژی، وجود دارد. این ناپیوستگی در مقایسه با ناپیوستگی $0/2\text{ eV}$ در ساختار $\text{AlGaAs}/\text{GaAs}$ برتری محسوب می‌شود. از سوی دیگر به دلیل اختلاف زیاد (حدود $0/69\text{ eV}$) بین کف دره‌های L و Γ در احتمال ورود زود هنگام حاملها به دره L وجود ندارد.

برای شبیه‌سازی این ساختار، غلظت نواحی سورس و درین 10^{18} cm^{-3} و غلظت کانال $5 \times 10^{16}\text{ cm}^{-3}$ ، بایاس پایانه‌ها $V_{GS} = 0/2\text{ V}$ و $V_{DS} = 1/2\text{ V}$ و دمای محیط 77°K انتخاب شده است.

چگالی شدت جریان درین برای مسافت‌های InP و GaAs و InGaAs به ازای $V_{DS}=1/5\text{ V}$ و $V_{GS}=-0/2\text{ V}$ در جدول ۱، با یکدیگر مقایسه شده است.

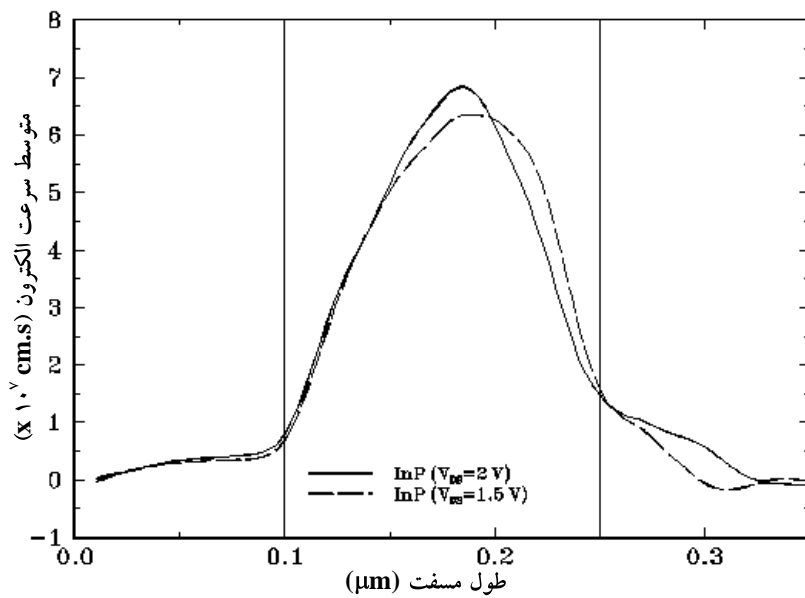
تأثیر افزایش ولتاژ در مسافت InP نیز مشابه مسافت GaAs است. همانگونه که در شکل ۱۰ دیده می‌شود، با افزایش بایاس درین-سورس تا $V_{DS}=2\text{ V}$ ، اوج مشخصه سرعت کمی افزایش می‌یابد. از طرفی نقطه اوج کمی به سمت سورس انتقال می‌یابد که ناشی از تأثیر بیشتر پراکندگی معکوس و حضور حاملها در دره L است.

۴- ترانزیستور مسافت $\text{In}_{0.53}\text{Ga}_{0.47}\text{As}$ با سورس InP

در بخش‌های قبل ملاحظه شد که مسافت با کانال InGaAs بیشترین سرعت را دارد. از سوی دیگر با استفاده از ساختار ناهمگون در مسافت GaAs، مشخصه سرعت در مجاورت سورس AlGaAs در کنار کانال GaAs بهبود

جدول ۱ مقایسه چگالی جریان در سه مسافت مختلف به ازای $V_{GS} = -0.2V$ و $V_{DS} = 1.5V$ در دمای $77^{\circ}K$

جنس مسافت	$J(\text{mA}/\mu\text{m}^2)$
GaAs	۳/۷۰۳
$\text{In}_{0.53}\text{Ga}_{0.47}\text{As}$	۵/۲۶۹
InP	۳/۸۰۶

شکل ۱۰ مقایسه متوسط سرعت الکترون در مسافت InP به ازای بایاس‌های $V_{DS} = 1.5V$ (خط‌چین) و $V_{DS} = -0.2V$ (خط ممتد) برای در دمای $77 K$

ساختمار محسوب می‌شود.

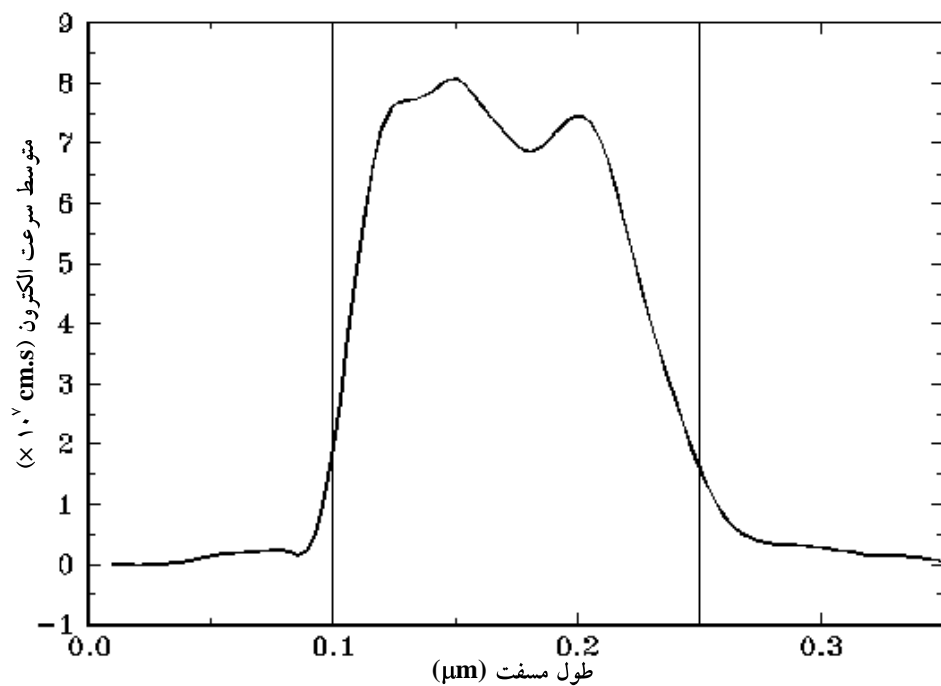
۵- نتیجه‌گیری

در این تحقیق علاوه بر نقش نوع ساختار مسافت، خواص ذاتی مواد نیمرسانای تشکیل دهنده آن نیز بر مشخصه‌های انتقال بررسی و مشخصه‌های مسافت‌های GaAs , InP/InGaAs , InP , $\text{AlGaAs}/\text{GaAs}$ مقایسه شده است. به طور کلی مشخصه‌های انتقال در سه نوع مسافت آخری نسبت به دونوع مسافت اول رفتار بهتری دارند.

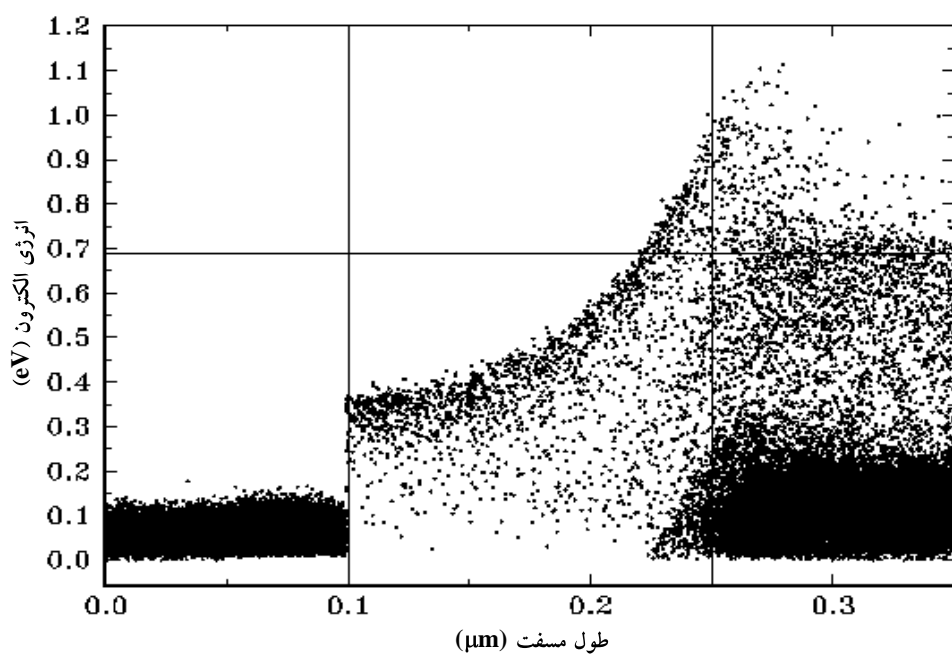
با مقایسه رفتار سه مسافت معمولی از جنس GaAs , InP و $\text{In}_{0.53}\text{Ga}_{0.47}\text{As}$ ملاحظه شد که سرعت حامل در مسافت InGaAs بیشتر است.

برای مدل‌سازی پدیده تونل زنی در ناپیوستگی نیز، از مدلی مشابه مدل مطرح شده در مرجع [۱۷] استفاده شده است. اثرات تبهگنی و برهم‌کنش الکترون- الکترون نیز در شبیه‌سازی ملاحظه شده است. یک لایه LDD با غلظت $5 \times 10^{14} \text{ cm}^{-3}$ نیز به طرف درین اضافه شده است. متوسط سرعت حامل در این شبیه‌سازی در شکل ۱۱ نشان داده شده است. از مقایسه این شکل با شکل ۷، برتری ساختار مطرح شده روشن می‌شود.

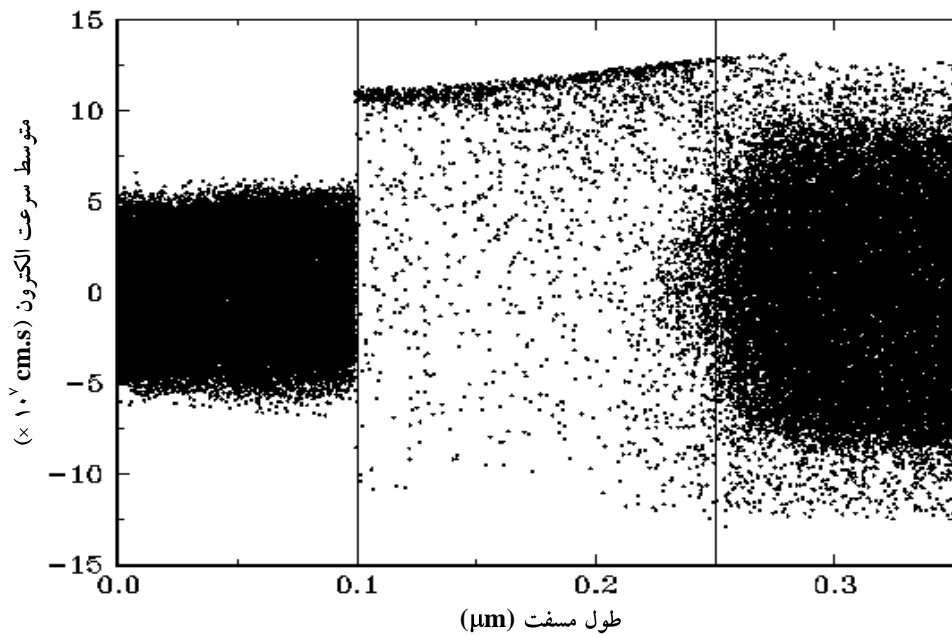
برای مقایسه با دیگر ترانزیستورهایی که تاکنون معرفی شده است، توزیع انرژی و توزیع سرعت حامل در این ساختار به ترتیب در شکل‌های ۱۲ و ۱۳ نشان داده شده است. نکته قابل توجه دیگر عدم وجود مراکز DX در مقایسه با AlGaAs در InP است که امتیاز دیگر این



شکل ۱۱ متوسط سرعت حامل برای مسافت ناهمگون با کانال $\text{In}_{0.53}\text{Ga}_{0.47}\text{As}$ و سورس InP به ازای $V_{DS}=1/2\text{V}$ و $V_{GS}=-0/2\text{V}$ در دمای 77 K



شکل ۱۲ توزیع انرژی حامل برای مسافت ناهمگون با کانال $\text{In}_{0.53}\text{Ga}_{0.47}\text{As}$ و سورس InP به ازای $V_{DS}=1/2\text{V}$ و $V_{GS}=-0/2\text{V}$ در دمای 77 K



شکل ۱۳ توزیع سرعت حامل در مسافت ناهمگون با کانال ناهمگون In_{0.53}Ga_{0.47}As و سورس InP به ازای $V_{DS}=1/2$ V و $V_{GS}=-0/2$ V در دمای ۷۷ K

Submicron GaAs/AlGaAs MESFETs: A Monte Carlo Simulation,” *Scientia Iranica*, Vol. 7, No. 3-4, pp. 164-168, 2000.

- [3] S. W. Bland, A. F. Galashan, S. A. Kitchin, “High Transconductance InGaAs FETs Using an Undoped Amorphous silicon Schottky Barrier Enhancement Layer,” *Second International Conference. Indium Phosphide and Related Materials*, pp. 312-315, 1990.
- [4] G.W. Wang, “Strain-Relaxed Epitaxial Layers for High-Speed Electronic Devices,” *Appl. Phys. Lett.*, vol. 59, No. 5, pp. 573-575, 1991.
- [5] J. M. Schellenberg, C. L. Lau, M. Feng, P. Brusenback, “W-band Oscillator Using Ion-Implanted InGaAs MESFETs,” *IEEE Microwave and Guided Wave Lett.*, vol.1, No.5, pp. 100-102, 1991.
- [6] G.W. Wang, R. Kaliski, Y. Chang, “InGaAs MESFETs for Millimeter-Wave

چگالی شدت جریان درین در این سه ترانزیستور به ازای $V_{GS}=0/2$ V و $V_{DS}=1/5$ V در دمای ۷۷ K محاسبه و مقایسه و ملاحظه شد که مسافت In_{0.53}Ga_{0.47}As بزرگترین چگالی شدت جریان را دارد. نشان داده شد که وجود سورس باشکاف انرژی بزرگتر از شکاف ماده کانال، باعث بهبود رفتار مشخصه‌های حامل در کانال می‌شود. در بین همه مسافت‌های شبیه‌سازی شده، مسافت ناهمگون با کانال InP و سورس InGaAs تعییه شده برروی بستر بهترین مشخصه را از خود نشان داد.

۶- منابع

- [1] ثقفی، کامیار «تحلیل انتقال الکترون در ترانزیستور MESFET با روش مونت کارلو»، رساله دکتری الکترونیک، دانشگاه تربیت مدرس، ۱۳۷۸.
- [2] K. Saghafi, and M. K. Moravvej-Farshi, “Effects of Doping and Alloy Composition on Electron Transport in

- [12] Wei Yang, Z. Abid, A. Gopinath, F. Williamson, "InP MESFET with High Breakdown Voltage," *4th International Conf. on InP and Related Materials*, pp. 368-370, 1992.
- [13] Z. Abid, A. Gopinath, F. Williamson, M. I. Nathan "Direct-Schottky-Contact InP MESFET," *IEEE Elec. Dev. Lett.*, Vol. 12, No. 6, p. 279-280, 1991.
- [14] A. A. Iliadis, "Nearly Ideal Enhanced Barrier Height Schottky Contacts to n-InP for MESFET Applications," *Elect. Lett.*, Vol. 25, No. 9, pp. 572-574, 1989.
- [15] R. Tyagi, T. P. Chow, J. M. Borrego, K. A. Pisarczyk, "Improved Al/InP Schottky Barriers by Co-Implantation of Be-P," *Fifth International Conf. on InP and Related Materials*, pp. 349-352, 1993.
- [16] www.watson.ibm.com.Damocles, 1997.
- [17] M. K. Moravvej-Farshi, K. Saghafi, "Ensemble Monte Carlo Simulation of a GaAs n+-i-n+ Diode", *Scientia Iranica*, Vol. 6, No. 1, 1999.
- Low-Noise Applications," *IEEE Microwave and Guided Wave Lett.*, Vol. 1, No. 4, pp. 76-77, 1991.
- [7] G. W. Wang, Y. Chang, "Q and V Band Power InGaAs MESFETs," *Elect. Lett.*, Vol. 27, No. 6, pp. 488-489, 1991.
- [8] H. Morkoc, H. Unlu, G. Ji, *Principles and Technology of MODFETs*, Vol. 1, John Wiley & Sons, 1991.
- [9] S. J. Zurek, R. B. Darling, K. J. Kuhn, M. C. Foisy, "Elevated Temperature Performance of Pseudomorphic AlGaAs/InGaAs MODFETs," *IEEE Trans. on Elec. Dev.*, Vol. 45, No. 1, pp. 00, 1998.
- [10] S. Uno, T. Hashizume, S. Kasai, Nan-Jian Wu, H. Hasegawa, "860 eV Platinum Schottky Barrier on Indium Phosphide by insitu Electrochemical Process and its Application to MESFETs," *Japan. J. of Appl. Phys.*, Part 1, Vol. 35, No. 2B, pp. 1258-1263, 1996.
- [11] H. Sawatari, M. Oyake, K. Kainosh, H. Okazaki, O. Oda, "Study of InP MESFETs Based on Cd_x Interfacial Layers Grown by the Adsorption.Oxidation Method," *Fifth International Conf. on InP and Related Materials*, pp. 297-300, 1993.